

Vysoká škola strojní a textilní v Liberci
nositelka Řádu práce
Fakulta strojní

Obor 23-21-8
stroje a zařízení pro chemický, potravinářský a spotřební průmysl

textilní stroje

Katedra strojních strojů

REKONSTRUKCE NÁHONU PODÁVÁNÍ PRO VELKOPRŮMĚROVÝ PLETACÍ STROJ METEX

KTS - 108

Autor : Josef VACULÍK

Vedoucí práce : Ing. Jaroslav BERAN, CSc

Rozsah práce :

Počet stran : 38
Počet tabulek : -
Počet obrázků : 27
Počet grafů : -
Počet příloh : 8

V Liberci 9. května 1988

Vysoká škola strojní a textilní Fakulta strojní
Katedra: **technických a uměleckých** Školní rok: **1987/88**
uměleckých

ZADÁNÍ DIPLOMOVÉ PRÁCE (PROJEKTU, UMĚLECKÉHO DÍLA, UMĚLECKÉHO VÝKONU)

pro
Jiřího Vaculíka
obor **23-21-8 Stroje a zařízení pro chemický, potravinářský a**
spotřební průmysl.

Vedoucí katedry Vám ve smyslu nařízení vlády ČSSR č. 90/1980 Sb., o státních závěrečných zkouškách a státních rigorozních zkouškách, určuje tuť diplomovou práci:

Název tématu: **Rekonstrukce náhoru podávání pro velkopružkový
pletačí stroj METEX.**

Zásady pro vypracování:

- 1) Rekonstrukce analýzujte současný způsob náhoru podávání stroje METEX.
- 2) Navrhnete jiný způsob náhoru podávání, který by odstranil nedostatky stávajícího provedení. Řešení provedete pro 1 etáž, tzn. pro 1/3 podavače.
- 3) Provedete výpočet potřebného výkonu podavače a další nutné výpočty nového náhoru.
- 4) Provedete ekonomický rozber.

VYSOKÁ ŠKOLA STROJNÍ A TEXTILNÍ
Ústřední knihovna
LÍBEZEC 1, STUDENTSKÁ 8
PSČ 401 17

✓ 99/88 S
stroje pletací -
projednací osud. říjen 1988

KTS

4 0707041

Ústav pro výzkumy a vývoj chemických průmyslových technologií

Současná průvodní zpráva. 16. ročník sítrojopisu časopisu A4

Současm odborné literatury:

Ekonometrické a firiemní determinace (Horejovka Vsetín)

Autorem zadání diplomové práce: Ing. Jaroslav Horejovský, DrSc.

Datum zadání diplomové práce: 30. 9. 1987

Datum odsvědčení diplomové práce: 10. 5. 1988



Ing. Jaroslav Vl. Prášil, DrSc.

M. J. Horejovský
Ing. Jaroslav Vl. Prášil, DrSc.

Děkan

Litvínov

25. 5.

87

V 400

**Místopřísežně prohlašuji, že jsem diplomovou práci
vypracoval samostatně s použitím uvedené literatury.**

Hošek J.

V Liberci 9. května 1988

Josef Vaculík

Na tomto místě bych chtěl poděkovat vedoucímu mého diplomového úkolu s. Ing. Jaroslavu Beranovi, CSc a konzultantu s. Ing. Josefу Šrůtkovi za ochotu a poskytnutí podnětných rad v průběhu řešení práce.

OBSAH

Zadání diplomové práce

Seznam použitých hlavních označení

1. ÚVOD

2. POPIS A ANALÝZA SOUČASNÉHO ZPŮSOBU PODÁVÁNÍ

 2.1 Podávání nití

 2.2 Volba rychlosti podávání nití

 2.3 Analýza současného provedení

3. NÁVRH JINÉHO ZPŮSOBU PODÁVÁNÍ

 3.1 Požadavky kladené na převod

 3.2 Návrh řešení (Princip)

 3.3 Hodnocení ozub. řemenů

 3.4 Alternativní řešení

 3.5 Vyhodnocení alternativ

 3.6 Popis programu pro zvolené řešení

 3.7 Pokyny pro práci s programem

 3.8 Odvození vztahů a principů výpočtů veličin použitých
 v programu

 3.9 Vlastní návrh

4. VÝPOČET PŘENÁŠENÝCH VÝKONŮ

 4.1 Popis procesu zastavení

 4.2 Problematika vzájemného působení soustav (obecně)

 4.3 Výpočet momentu setrvačnosti podavače (z výr. výkresu)

 4.4 Výpočet momentu setrvačnosti stav. řemenice, hřidele,
 řemenice

 4.5 Sečtení I_p a I_C redukční metodou

 4.6 Řešení vlastní dynamiky soustavy

 4.7 Odvození výpočtových vztahů

5. ZÁVĚR

Seznam použité literatury a podkladů

SEZNAM HLAVNÍCH POUŽITÝCH OZNAČENÍ

P, Pp, Pr	přenášené výkony
Fř	síla v řemenu (maximální)
Mř	moment přenášený řemenem (maximální)
Dr	roztečný průměr řemenice
Dk	hlavový průměr řemenice
R3	polemér kladky
A	rozteč řemenic
y	vzdálenost kladky od osy řemenic
b	šířka řemene
tB	zubová rozteč
L	délka řemene
l1...l6	délkové úseky
α, β, γ	úhly související s opásáním
n1	otáčky malé řemenice
zz	počet zubů v záběru
K1	koefficient dynamických účinků
K2	koefficient rozběhu a zastavení
i1...i3	převody
Z	počty zubů
s	moment setrvačnosti soustavy
p	moment setrvačnosti podavače (36)
c	moment setrvačnosti řemenice, stav řemenice, hřídele
p1	moment setrvačnosti jednoho podavače
ω	úhlové rychlosti
ε	úhlové zrychlení
Mj	jmenovitý moment motoru
Max	maximální moment motoru
m1, m2...	hmotnosti jednotlivých částí podavače
ρ	měrná hmotnost

1. ÚVOD

Úkolem a cílem řešení této diplomové práce je rekonstrukce náhonu podávání, a tím odstranění konstrukčních nedostatků, které se vyskytly na novém pletacím stroji "Metex", jež nahrazuje ve výrobním programu koncernového podniku Vsetín stroj "METIN-NOV".

Metex je nový typ interlokového velkopružového pletacího stroje (VPS), který slouží pro výrobu pletenin v metráži o ϕ 30' angl. se 108 pracovními systémy o jemnosti 18, 20, 24, 28 E. Pletací soustava jak válcová tak taliřová je řešena jako dvoutraktové zámky. Pletací jehly lze v pracovních systémech volit do uzavírací a průběžné polohy na válci i na taliři a chytové polohy na taliři výměnnou příslušného prac. zámku.

Řešení pracovního systému je přizpůsobeno možnosti pletení různých méně tažných vazeb. Široká univerzalnost pro jiné vazby sleduje trend vývoje vazební i úpravárenské techniky, potiskování technologii "Sublistac".

Stroj Metex se používá pro výrobu metrových úpletů v interlokových vazbách hladkých i v speciálních, kombinovaných s jednolícními chytovými rádky. Zde je vidět široká univerzalnost vazebních technik známých a nevylučuje se možnost hledání dalších vazebních technik.

Tento stroj je vybaven elektronikou, která se nejen podílí na tradičních funkcích jako je hlídání přetrhovosti a tím zabráněním vzniku chyb v pletenině, ale je zde elektrotechnicky řízen rozbeh stroje a tím možnost plynulé volby otáček v širokém rozmezí, což je důležité při používání různých materiálů. (Bavlna, chemická vlákna, vlna)

Je celkem samozřejmé že s konstrukcí nového stroje se mohou vyskytnout různé problémy, které nemohl konstruktér předpokládat. Jako jsou třeba nové technologie, nové konstrukční řešení. tyto nové poznatky mohou do jisté míry zlepšit parametry stroje a umožnit tím lepší pronikání na zahraniční trhy.

Právě ve strojírenství platí nejvíce s jakou rychlostí

dokáže výrobce reagovat na nové objevy a s jakou rychlostí je dokáže aplikovat na výrobky spadající do jeho výrobního programu.

V této práci bude předkládáno řešení návrhu převodu s ozub. řemeny za pomocí výpočetní techniky.

2. POPIS A ANALÝZA SOUČASNÉHO ZPŮSOBU NÁHONU PODÁVÁNÍ

2.1 PODÁVÁNÍ NITÍ

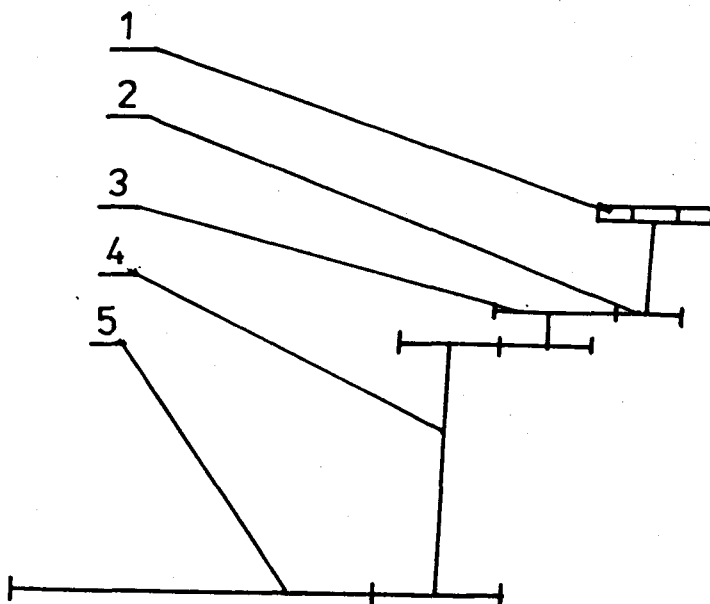
Stroj je vybaven podavači nití s více oviny ZKP 112. Tyto podavače zajišťují konstantní nízké napětí nití přiváděných do pracovního systému stroje. Jsou vybaveny hlídacími na vstupu a výstupu nití, jejichž reakce se dá individuálně seřizovat. Spojení el. obvodu hlídaců, které znamená poruchu ve vedení nití, je na každém podavači niti signalizováno signální žárovkou, k usnadnění identifikace takové závady slouží centrální signalizace.

Podavače nití jsou umístěny ve třech etážích nad sebou na nosných kruzích nestejného průměru, které jsou pomocí držáků připevněné k horní skřini stroje. Pohon podavačů v jednotlivých etážích je odvozen od hřídele pohonu válcového a tažířového lůžka prostřednictvím ozubených kol, průměrově stavitelné řemenice a děrovaných pásků pohonu podavačů. Staviteľné řemenice mají neprokluzový povrch, který spolu s napínacími kladkami a doopásávacími kladkami zajišťujícími lepší opásání zabrání prokluzu děrovaných pásků pohonu.

2.2 VOLBA RYCHLOSTI PODÁVÁNÍ NITÍ

Konstantní množství podávání nití do každého pletacího systému se řídí rychlostí poháněcích pásků. Rychlosť pásku je možno plynule měnit a to zaručuje množství podávání nití pro všechny vazby a dělení stroje. Změna rychlosti poháněcích pásků se provádí změnou průměru náhonové řemenice. Průměr řemenice lze odčítat přímo na stupnici řemenice. Pokud průměrový rozsah nestačí pro požadovanou rychlosť, je nutné provést změnu ozubeného převodu náhonové řemenice. K tomuto účelu slouží tři provedení převodových mezikol.

Schematický náčrt převodů stávajícího řešení



Obr. 1

1. Stavitelná řemenice ($D_{max}/D_{min} = 1,95$)
2. Ozubené kolo
3. Vložená mezikola (možno měnit převod)
4. Hřídel náhonový
5. Ozubené kolo z = 427 taliř. lóžka

2.3 ANALÝZA SOUČASNÉHO PROVEDENÍ

Stávající provedení pro náhon podavačů je použito čelních ozubených kol s přímými zuby, které přenáší rotační pohyb z náhonového hřídele (uložen v horní vzpěře stroje) na hřídel stavitelné řemenice (rozsah ϕ od 160 do 82), ze které je pomocí dírkovaného řemene přenášen rotační pohyb k podavačům. Jedna pasáž se skládá z 36 podavačů. Tento stroj obsahuje tři pasáže a náhon každé pasáže je stejný, posunutý po obvodu o 120° . Z tohoto plyne, že stačí řešit konstruk-

čně pouze jednu pasáž.

V této práci se proto bude řešit právě převod s přímými zuby a s vloženými mezíkoly, jimiž se mění převodový poměr v té chvíli, kdy už nestačí rozsah stavitelné řemenice, kterou lze měnit převod v rozsahu 1 až 1,95. Pomocí různých vložených mezíkol můžeme dosáhnout celkového převodu až 7 a maximálních otáček podavače 63 [ot/s]. Tyto parametry musí být zachovány i v rekonstruovaném řešení včetně rozsahu převodů, to znamená, že převod musí být možno nastavit od 1 do 7.

Důvodem rekonstrukce a tím vlastně hlavním nedostatkem je velmi nízká životnost ozubeného soukoli, přičemž tyto nedostatky se vyskytovaly již u předešlých vyráběných VPS (Jepex).

Dalším podstatným důvodem je vysoká hlučnost převodů a nutnost častého domazávání během provozu stroje.

V současném řešení je několik nedostatků a to především v ne přiliš šťastném řešení převodů ozubenými koly, a změnou převodů vloženými mezíkoly, u kterých nemůžeme zajistit správnou osovou vzdálenost. Navíc se zde může vyskytnout i nesouosé uložení hřídelů. Dále ozubená kola jsou budičem kmitů, které se přenášejí do celého stroje a dochází ke snížení životnosti ložisek a jiných součástek nehledě na to, že subharmonické a vyšší harmonické složky kmitání se mohou podílet na celkové hlučnosti stroje.

3. NÁVRH JINÉHO ZPŮSOBU PODÁVÁNÍ

3.1 POŽADAVKY KLADEMÉ NA PŘEVOD

1. Navrhnut způsob náhonu podávání, který by odstranil nedostatky stávajícího řešení, tj.:
 - a) zvýšil životnost převodu
 - b) snížit hlučnost
 - c) odstranit domazávání
2. Převod musí být bezprokluzový, to znamená vyloučení opožděného otáčení podavačů nití za otáčením stroje.
3. Řešení provést početně i konstrukčně pouze pro jednu pasáž.

3.2 NÁVRH ŘEŠENÍ

Na základě předešlé analýzy se naskytá možnost nahrazení převodu s ozubenými koly ozubeným řemenem jehož použití narůstá v celosvětovém měřítku a začíná se objevovat u většiny strojů zahraničních firem. Dále pro toto řešení svědčí i to, že tyto řemeny vyrábí v ČSSR n.p. Gumárny Zubří a není nutné nakupovat řemeny ze zahraničí.

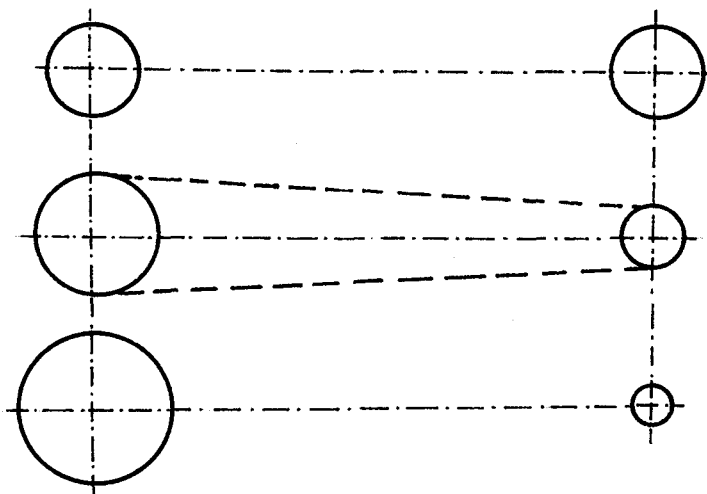
3.3 HODNOCENÍ OZUBENÝCH ŘEMEN

- a) Zachovávají stálý převodový poměr
- b) Není nutné domazávání během provozu
- c) Zvýší se životnost celého převodu
- d) Sniží se hlučnost
- e) Sniží se přenos vibrací a vznik vibrací

3.4 ALTERNATIVNÍ ŘEŠENÍ

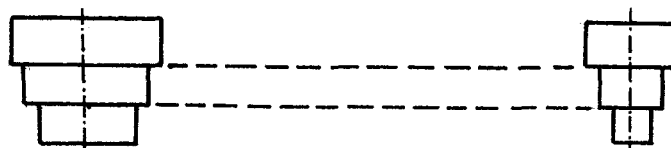
Pro konstrukční řešení se naskytají čtyři alternativy řešení.

- a) Pro danou osovou vzdálenost použití jednoho ozubeného řemene a šest výměnných řemenic.



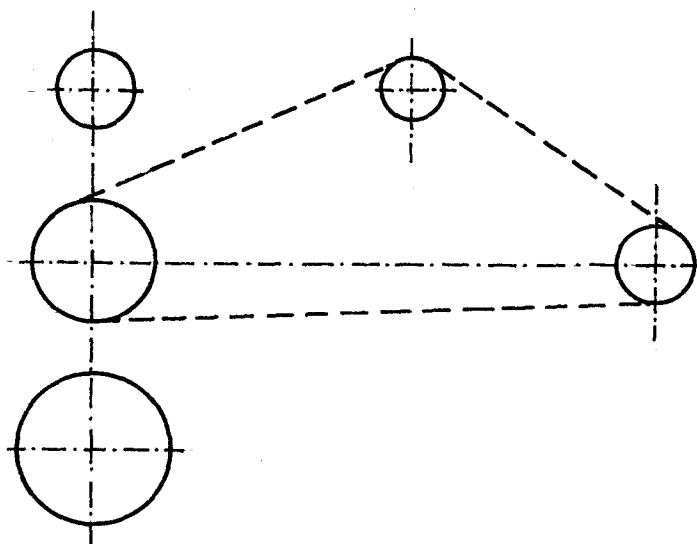
Obr. 2

- b) Pro danou osovou vzdálenost použít jeden ozubený řemen a převod měnit sesouváním pro tři řemenice umístěné nad sebou.



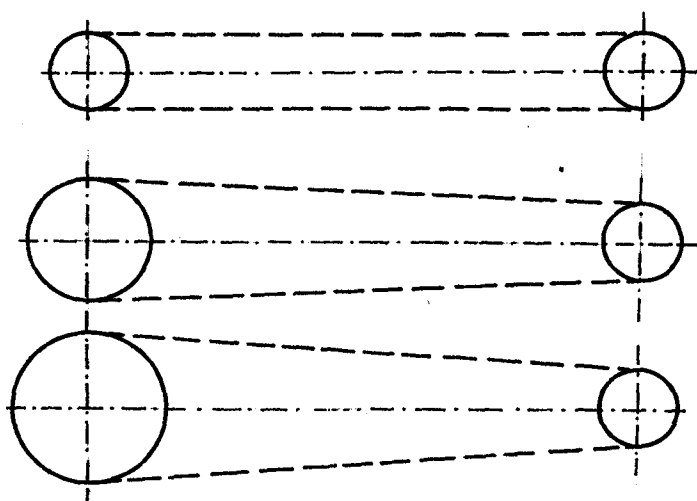
Obr. 3

c) Použití tří výměnných řemenic u kterých je změna potřebné délky eliminována napínací kladkou.



Obr. 4

d) Pro danou osovou vzdálenost použít tři řemenů a tři výměnných řemenic.



Obr. 5

3.5 VYHODNOCENÍ ALTERNATIV

Pro zvolení varianty je použito bodového hodnocení dle zvolených kritérií a hodnoceno v rozsahu 1 - 5 bodů.

Variante	1	2	3	4
1. Složitost konečného řešení	1	2	4	5
2. Rychlosť změny převodu	2	5	4	4
3. Přizpůsobení současného řešení	5	0	4	4
4. Množství výmenných elementů	1	5	3	1
5. Ekonomické hledisko	1	2	4	0
	10	14	19	14

Z tohoto plyně, že nejvhodnější se jeví varianta č. 3, což je řešení s třemi výmennými řemenicemi a s napínací kladkou, kde napínací kladka eliminuje délkové rozdíly vzniklé změnami při výměně řemenic. Pro toto řešení je třeba prostoru, kterého je celkem dostatek. Volené převody musí být takové, aby pomocí stavitelné řemenice vzniklo překrytí celého převodového rozsahu. Dochází také k malým konstrukčním úpravám.

Celý návrh a potřebné výpočty jsou zjednodušeny, poněvadž práci usnadní program, který i graficky zobrazuje polohy napínací kladky při volbě určitých převodů. Tento program je zpracován na osobním počítači ATARI 800 XL. Protože výpočty jsou velmi složité a časově náročné je celý program převeden do jazyka TURBO BASIC, který je několikrát rychlejší než klasický systémový jazyk.

3.6 POPIS PROGRAMU PRO ZVOLENÉ ŘEŠENÍ

U programu se na základě daných parametrů vybírá a počítá:

- a) Vhodný řemen na základě minimálního průměru řemenice
- b) Optimalizuje první převod

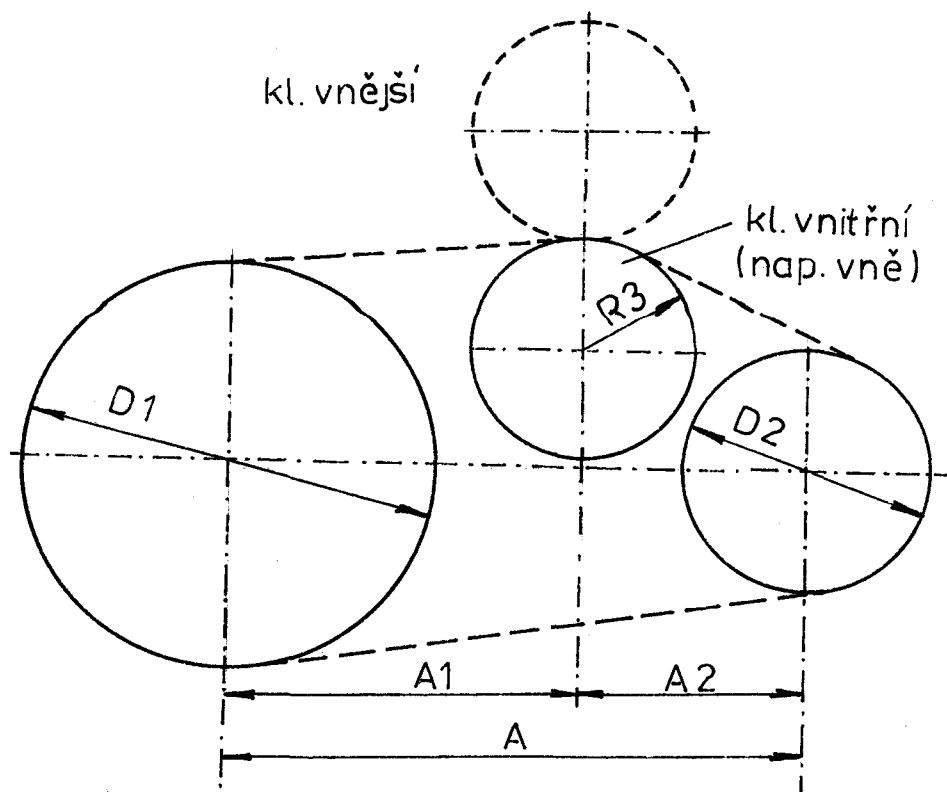
- c) Roztečné a hlavové kružnice řemenic pro jednotlivé zvolené převody
- d) Dle volby zda napínání má probíhat dovnitř či vně, zobrazuje pro každý převod obě řemenice jakož i napinaci kladku a proces napínání až do max polohy
- e) Po zadání otáček malé řemenice a potřebného výkonu k přenášení vypisuje tabulky s koeficienty pro zohlednění rezistence a dynamických veličin
- f) Pomocí lineární interpolace vybírá hodnotu dovolených tlaků
- g) Výpis vypočtených hodnot

Ad g) Program vypisuje

průměr roztečné kružnice	Dr [mm]
průměr hlavové kružnice	Dk [mm]
počty zubů jednotlivých řemenic	Z
skutečné převody	i
maximální vzdálenost od osy dosaženou při napínání y [mm]	
výkon (daný)	P [W]
síla v řemenu	F [N]
katalogové označení řemene	
šířku řemene	b [mm]
délku řemene	L [mm]
rozteč	t _B [mm]
modul	m [mm]

3.7 POKYNY PRO PRÁCI S PROGRAMEM

V prvé řadě je nutné do systému počítače natáhnout jazyk TURBO BASIC. Dále jen nahrajeme vlastní program a můžeme spustit. Počítač požadované veličiny vypisuje.



Obr. 6

Pro zvolené konstrukční řešení je uvažován proces napínání vně.

Zadané parametry

A [mm]

A_1 [mm]

R_3 [mm]

d_{\min} [mm]

počet převodů

převody - jako první uvést největší

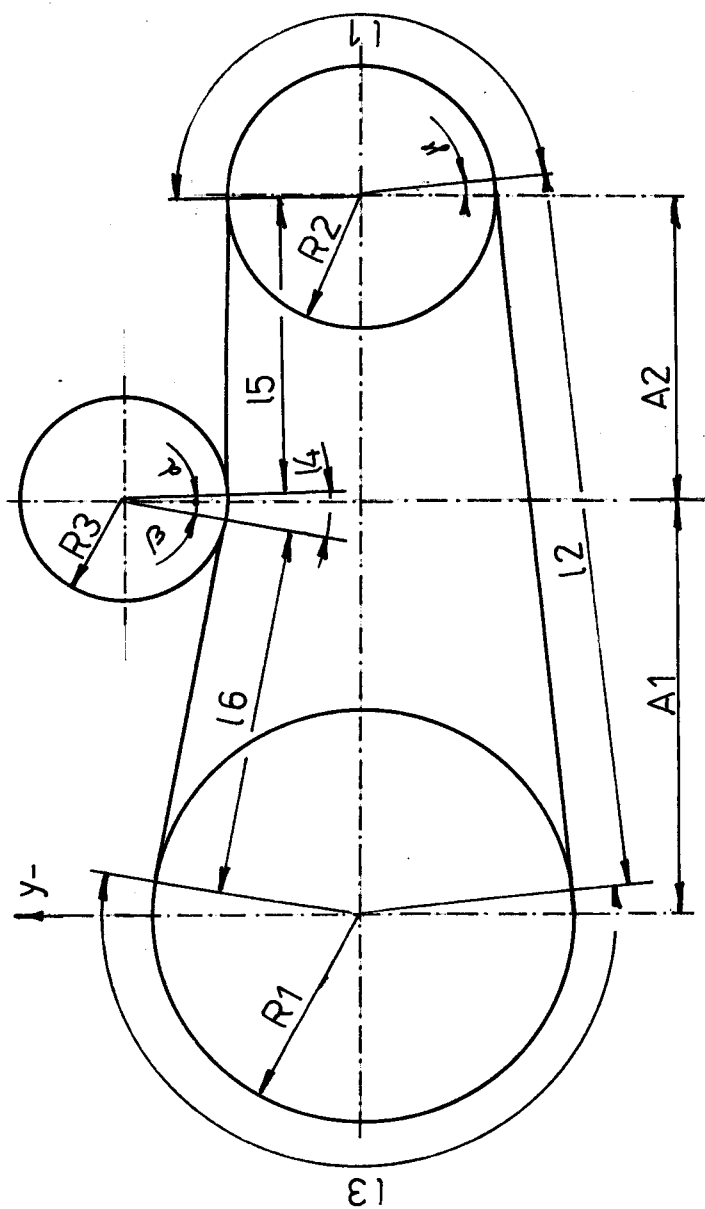
chyba max. u prvního převodu

potřebný přenášený výkon P [W]

počet otáček n [ot/s]

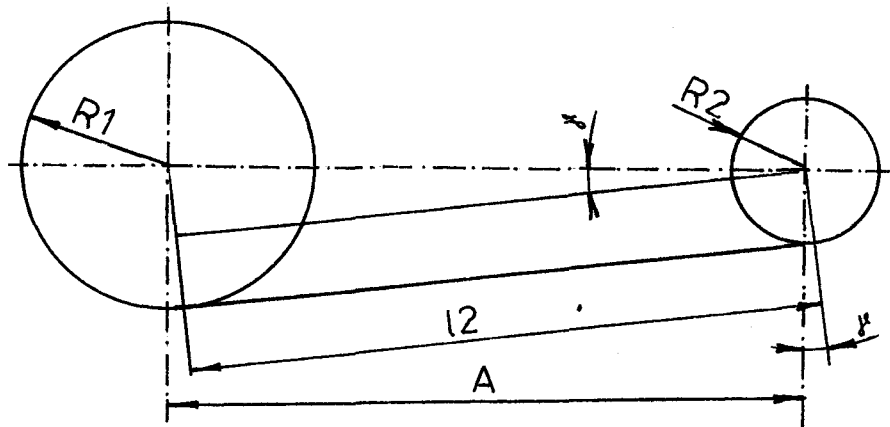
3.8 ODVOZENÍ VZTAHŮ A PRINCIPŮ VÝPOČTŮ VELIČIN POUŽITÝCH
V PROGRAMU

a) Odvození délky řemene s kladkou vně



Obr. 7

Odvození l2 a γ

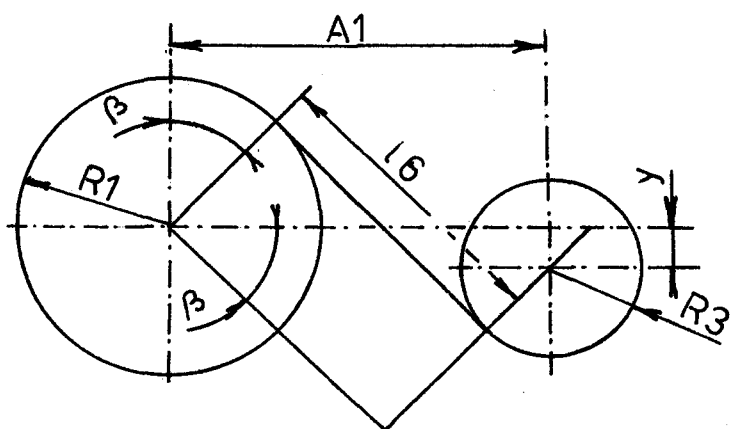


Obr. 8

$$\gamma = \arcsin\left(\frac{R_1 - R_2}{A}\right) \quad (1)$$

$$l_2 = A \cdot \cos \gamma \quad (2)$$

Odvození l6 a β



Obr. 9

$$\sin \beta = \frac{R_1 + R_3 + y / \cos \beta}{A_1 + y \cdot \operatorname{tg} \beta} \quad (3)$$

$$\sin \beta \cdot A_1 + y \cdot \frac{\sin^2 \beta}{\cos \beta} = R_1 + R_3 + y / \cos \beta \quad (4)$$

X ~~substituce~~ $x = \sin \beta$

$$(A_1 x - R_1 - R_3) \sqrt{1 - x^2} + y \cdot x^2 + y = 0 \quad (5)$$

Po vydělení kořeny ± 1 a zavedení substitucí:

$$B = -2 \cdot A_1 \cdot R_1 - 2 \cdot A_1 \cdot R_3$$

$$C = A_1^2$$

$$D = R_1 + R_3 + 2 \cdot R_1 \cdot R_3$$

$$E = y^2 - C$$

$$F = C - D + 2y$$

$$x_{12} = \frac{B \pm \sqrt{B - 4 \cdot E \cdot (E + F)}}{2 \cdot E} \quad (6)$$

Po dosazení zavedených substitucí přejde rovnice na konečný tvar.

$$\beta = \arcsin \left(\frac{-2A_1R_1 - 2A_1R_3 \pm \sqrt{(2A_1R_1 + 2A_1R_3)^2 - 4((A_1^2 + y^2)(R_3^2 + R_1^2 - 2(A_1^2 + y^2) + 2R_1R_3) - y^2A_1^2 - y^4)}}{2(A_1^2 + y^2)} \right) \quad (7)$$

pro $y > 0$ -

pro $y < 0$ +

Pro sin platí stejná rovnice jen veličiny A_1 , R_1 změníme na A_2 , R_2 .

$$L = l_1 + l_2 + l_3 + l_4 + l_5 + l_6 \quad (8)$$

$$l_1 = R_2(\pi + \hat{\alpha} - \hat{\beta}) \quad (9)$$

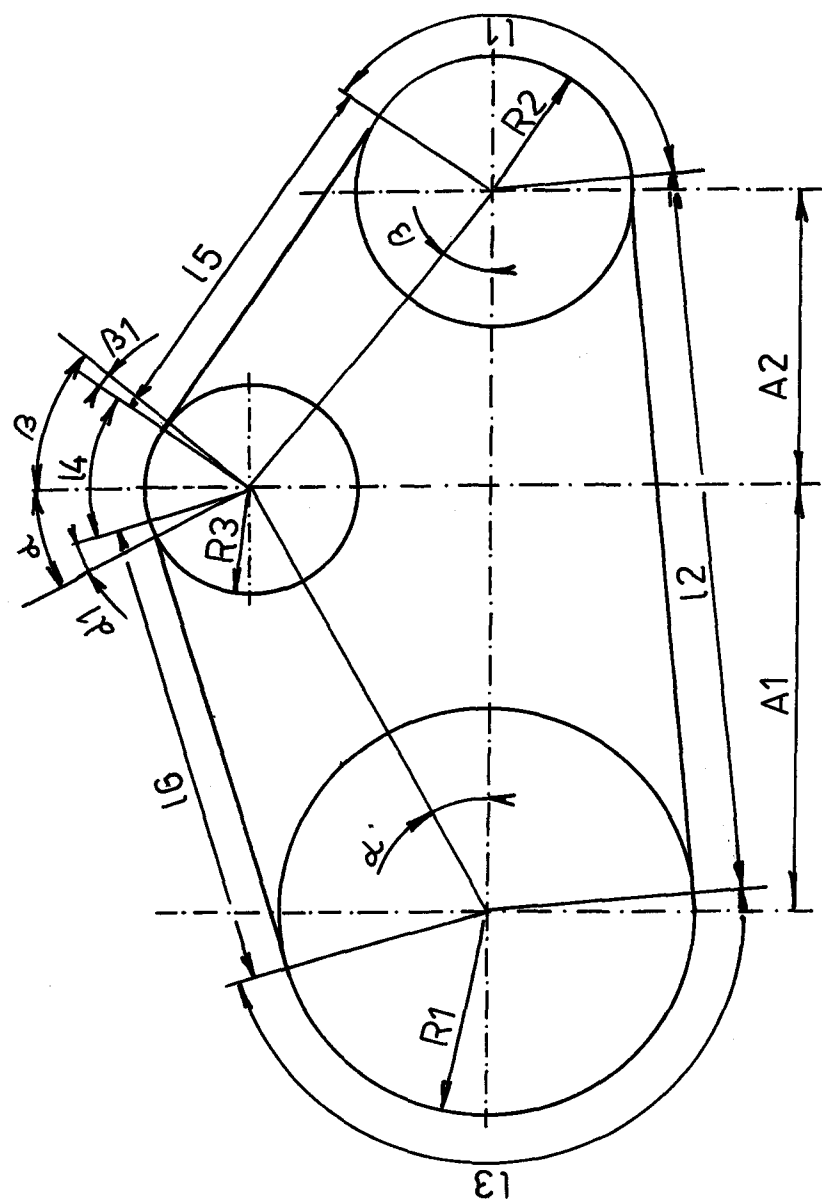
$$l_3 = R_1(\pi + \hat{\beta} + \hat{\gamma}) \quad (10)$$

$$l_4 = R_3(\hat{\alpha} + \beta) \quad (11)$$

$$l_5 = A_2 \cos \alpha - y \sin \alpha \quad (12)$$

$$l_6 = A_1 \cos \beta - y \sin \beta \quad (13)$$

b) Odvození délky řemene s kladkou uvnitř



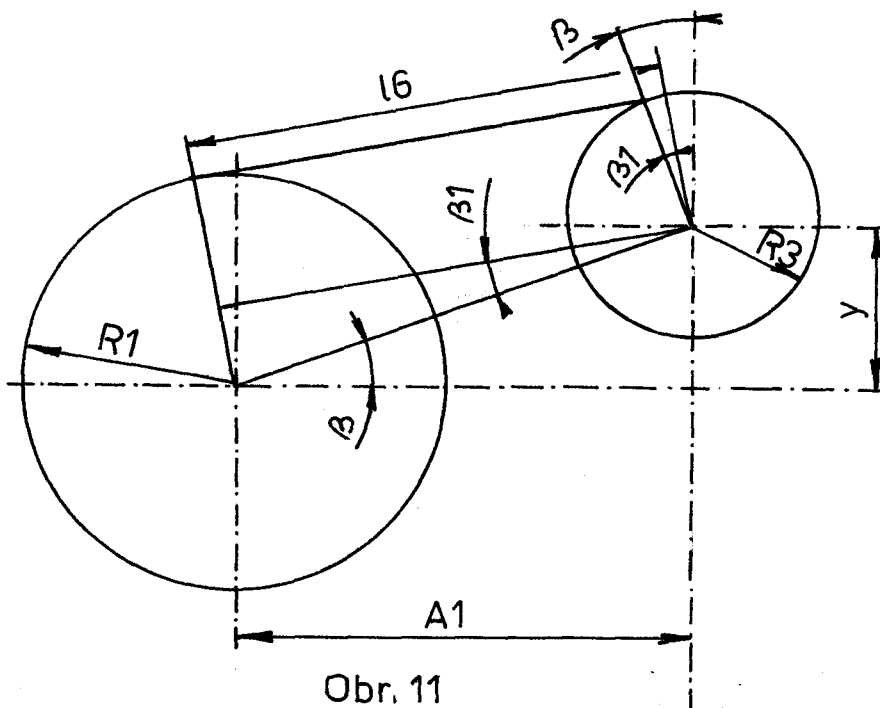
Obr. 10

Odvození délky l_2 a úhlu γ je stejné jako v předchozím případě.

$$l_2 = A \cos \gamma \quad (14)$$

$$\gamma = \arcsin\left(\frac{R_1 - R_2}{A}\right) \quad (15)$$

Odvození l_6, β_1, β_1

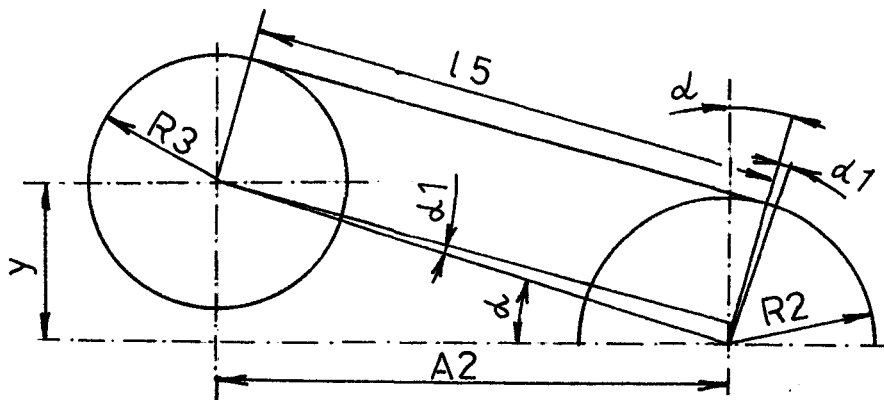


Obr. 11

$$\beta = \operatorname{arctg}(y/A_1) \quad (16)$$

$$\beta_1 = \arcsin\left(\frac{R_1 - R_3}{\sqrt{A_1^2 + y^2}}\right) \quad (17)$$

$$l_6 = \sqrt{A_1^2 + y^2} \cdot \cos \beta_1 \quad (18)$$



Obr.12

Pro l_5 , d_1 , d platí stejné vztahy, pouze místo A_1 dosadíme A_2 a místo R_1 dosadíme R_3 . ✓

Pro ostatní délky platí:

$$l_1 = R_2 \cdot (\pi - \hat{\beta} - \hat{\alpha} + \hat{\delta}_1) \quad (19)$$

$$l_3 = R_1 \cdot (\pi + \hat{\beta} - \hat{\alpha}_1 + \hat{\beta}_1) \quad (20)$$

$$l_4 = R_3 \cdot (\hat{\alpha} + \hat{\beta} - \hat{\beta}_1 - \hat{\delta}_1) \quad (21)$$

Vztahy použité pro výpočet síly u řemenů a potřebné šířky z katalogu řemenů.

$$F = \frac{P}{\pi \cdot n_1 \cdot D_k 2} \quad [N] \quad (22)$$

$$b = \frac{F \cdot k A}{z z \cdot p \cdot h z} \quad [mm] \quad (23)$$

P - výkon ve [W] přenášený
n1 - otáčky menší řemenice [ot/s]
Dk2 - hlavový průměr malé řemenice [mm]
ZZ - počet zubů v záběru
P - dovolený tlak [MPa]
hz - z katalogu řemenů
kA - koeficient zohledňující dynamické účinky soustavy

c) Optimalizace převodu:

Počítač se pokouší změnit původní daný převod tak, aby skutečná hodnota převodu pro navrhované počty zubů řemenic a danou osovou vzdálenost v závislosti na skutečné sélce řemene se nezměnila proti původnímu o větší hodnotu než je dovolená chyba.

d) Dovolený tlak P se počítá pomocí lineární interpolace grafů jehož hodnoty jsou dány v datech přímo u programu.

e) Program má v datech zadány katalogové hodnoty potřebné pro výpočet, pro celé spektrum vyráběných řemenů.

Pozn.: Ostatní vztahy, které se v programu vyskytují, je možno najít v katalogu ozubených řemenů.

3.9 VLASTNÍ NÁVRH

Volba převodů

Celkový rozsah převodů musí být volen tak, aby bylo možno nastavit jakýkoliv převod v rozsahu 1 - 7, z tohoto důvodu je nutné převody volit o něco menší než je rozsah stavitelné řemenice.

$$\begin{aligned}i_1 &= 1 \\i_2 &= 1,92 \\i_3 &= 3,6\end{aligned}$$

Pro tak velký převod nemůžeme napínání provádět směrem dovnitř, ale je nutno napínat vně. Z katalogu je možno zjistit minimální průměr napínání kladky. Osová vzdálenost je většinou dána rozměry stroje. Pro původní rozteč hřidelů 90 mm počítač nenašel vhodný řemen z hlediska konstrukčního (velká šířka). První slušné hodnoty odpovídají osové vzdálenosti 120 mm.

Varianta 1

$$\begin{array}{lll}A = 120 \text{ [mm]} & P = 300 \text{ [W]} & k_1 = 1,5 \\A_1 = 100 \text{ [mm]} & n = 20 \text{ [ot/s]} & k_2 = 1,8 \\R_3 = 15 \text{ [mm]}\end{array}$$

Vypočtené hodnoty

ozn.	Dr	DK	Z	Y	i
D 2	47,96	47,21	24		
D 11	173,6	172,7	87	48,8	3,625
D 12	91,83	90, 937	46	150,3	1,9167
D 13	47,96	47,21	24	176,9	1

Ø kladky 30 [mm]

A 120 [mm]

A₁ 100 [mm]

A₂ 20 [mm]

kat. ozn. 272213030

délka řemene 626,5 [mm]

šířka 30 [mm]

síla F = 289,9 [N]

m = 1,9443

t_B = 6,265 [mm]

4. VÝPOČET PŘENÁŠENÝCH VÝKONŮ

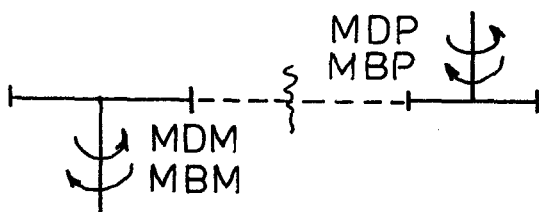
4.1 POPIS PROCESU ZASTAVENÍ

Než přistoupím k vlastnímu řešení potřebných přenášených špičkových výkonů, je třeba si uvědomit, že k tomuto dochází především v procesu zastavení, který musí proběhnout za 1s a tím pádem eliminace dynamických sil soustavy bude největší.

Dojde-li během chodu stroje k poruše zarážek, poruše jisticích přístrojů, otevření krytů nebo stisknutí tlačítka "Central stop" nastane účinné brzdění stroje vedoucí k rychlému zastavení. Brzdění stroje je provedeno tak, že po zablokování tyristorového měniče je kotva motoru připojena stykačem na svorky odporu. Začne protékat proud o velikosti několikanásobku jmenovitého proudu motoru. Motor brzdí stroj několikanásobkem jmenovitého momentu. Brzdný moment klesá lineárně s poklesem otáček tak, že při nulových otáčkách je nulový. To je nutné z hlediska technologie pletení i namáhání zámkové soustavy pletacího systému stroje.

4.2 PROBLEMATIKA VZÁJEMNÉHO PŮSOBENÍ SOUSTAV (OBECNĚ)

Pro zvolenou soustavu se dají obecně napsat rovnice momentové, vztažené k celé soustavě nebo části. (Proces brzdění.)



Obr. 13

MDS - dynamický moment celé soustavy

MBS - brzdný moment (pas. odporů) celé soustavy

MDP - dynamický moment oddělené části (podavačů)

MBP - brzdný moment (pas. odporů) oddělené části (podavačů)

MDM - dynamický moment zbývající části soustavy

MBM - brzdný moment (pas. odporů) zbývající části soustavy

$$MDS = MDM + MDP \quad (24)$$

$$MBS = MBM + MBP \quad (25)$$

$$MDS = I_s \cdot \dot{\epsilon}_s = (I_s - I_p) \cdot \dot{\epsilon}_s + I_p \cdot \dot{\epsilon}_s \quad (26)$$

$$MBS = \frac{P_s - P_p}{\omega} + \frac{P_p}{\omega} \quad (27)$$

Řemen přenáší: M_r [Nm]

$$M_r = MDP - MBP \quad (28)$$

$$M_r = I_p \cdot \dot{\epsilon}_s - \frac{P_p}{\omega_1} \quad (29)$$

Po zavedení: $\dot{\epsilon}_p$ [rad/s]

$$\dot{\epsilon}_p = \frac{P_p}{I_p \cdot \omega_1} \quad (30)$$

Z toho plyně:

$$M_r = I_p (\dot{\epsilon}_s - \dot{\epsilon}_p) \quad (31)$$

$$P_r = M_r \cdot \omega_1 \quad (32)$$

Poznámka:

Z teoretického rozboru plyne, že k vlastnímu řešení dynamiky soustavy je nutné zjistit některé veličiny, k čemuž směřuje další část výpočtu.

Jsou to:

$I_s, \xi_s, I_p, \xi_p, MBS, MBP$

V tomto principiálním řešení je uvažováno s tím, že momenty pasivních odporek, ať jako celku nebo oddělené části, jsou konstantní, to znamená, že koeficient tření v závislosti na rychlosti je uvažován jako konstanta.

Dále je třeba podotknout, že čárkované veličiny jsou redukovány na jiný člen soustavy, tzn. jiná úhlová rychlosť a zrychlení.

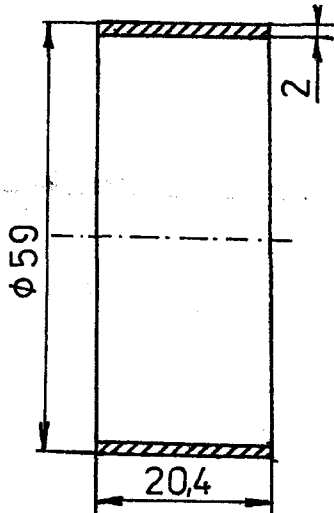
4.3 VÝPOČET MOMENTU SETRVAČNOSTI PODAVAČE (z výr. výkresu)

V prvé řadě je nutné spočítat moment setrvačnosti jednoho podavače. Toto je provedeno podle výkresové dokumentace a tvarově složité součástky jsou nahrazeny jednoduššími modely.

$$I_p = I_{p_1} + \dots + I_{p_{36}} \quad (33)$$

$I_{p_1}, \dots, I_{p_{36}}$ jsou momenty setrvačnosti jednotlivých podavačů

a) pozice č. 22



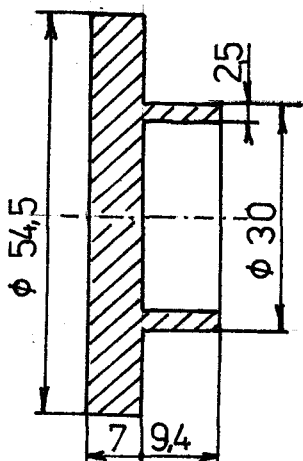
$$\rho = 7.8 \text{ g/cm}^3$$

$$m_i = 0.057 \text{ kg}$$

$$I_i = 4.635 \cdot 10^{-5} \text{ kg.m}^2$$

Obr.14

b) pozice č. 29



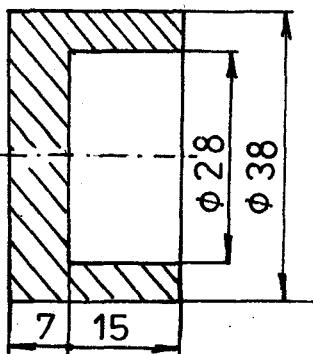
$$\rho = 1.1 \text{ g/cm}^3$$

$$m_i = 0.022 \text{ kg}$$

$$I_i = 9.54 \cdot 10^{-6} \text{ kg.m}^2$$

Obr.15

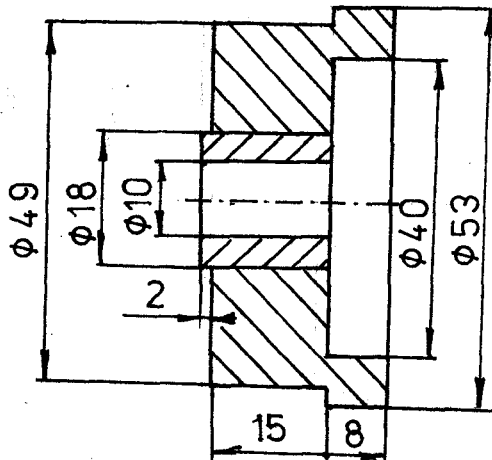
c) pozice č. 74



$$\rho = 1,1 \text{ g/cm}^3$$
$$m_s = 0,0173 \text{ kg}$$
$$I_3 = 395 \cdot 10^6 \text{ kg} \cdot \text{m}^2$$

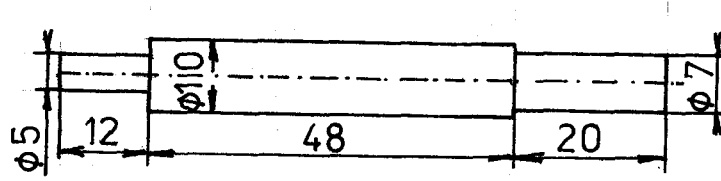
Obr. 16

d) pozice č. 45



$$\rho = 1,1 \text{ g/cm}^3$$
$$m_s = 0,0386 \text{ kg}$$
$$I_4 = 13934 \cdot 10^5 \text{ kg} \cdot \text{m}^2$$

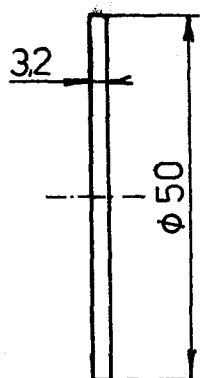
e) pozice č. 28



$$\rho = 7,8 \text{ g/cm}^3$$
$$m_s = 0,0298 \text{ kg}$$
$$I_5 = 4,09 \text{ kg} \cdot \text{m}^2$$

Obr. 18

f) pozice č. 10ⁱ9

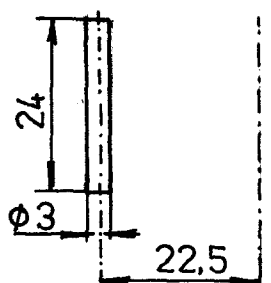


$$\rho = 7,8 \text{ g/cm}^3$$

$$m_e = 0,05 \text{ kg}$$

$$I_e = 1,58 \cdot 10^{-5} \text{ kg m}^2$$

Obr. 19
g) pozice č. 77



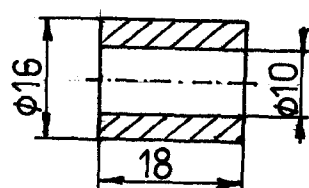
pro 24

$$\rho = 7,8 \text{ g/cm}^3$$

$$m_e = 0,0317 \text{ kg}$$

$$I_e = 1,6038 \cdot 10^{-5} \text{ kg m}^2$$

h) kroužky ložisek



$$\rho = 7,8 \text{ g/cm}^3$$

$$m_s = 0,017 \text{ kg}$$

$$I_s = 7,6 \cdot 10^{-6} \text{ kg m}^2$$

Obr. 21
Moment setrvačnosti jednoho podavače

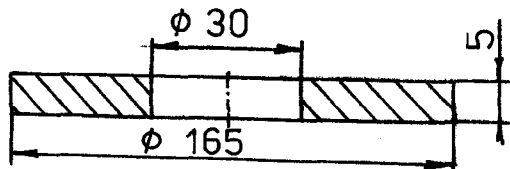
$$I_{p1} = 106 \cdot 10^4 \text{ kg m}^2$$

Moment setrvačnosti 36 podavačů dle (33)

$$I_p = 3,82 \cdot 10^3 \text{ kg m}^2$$

4.4 VÝPOČET MOMENTU SETRVAČNOSTI STAVITELNÉ ŘEMENICE, HŘÍDELE A ŘEMENICE

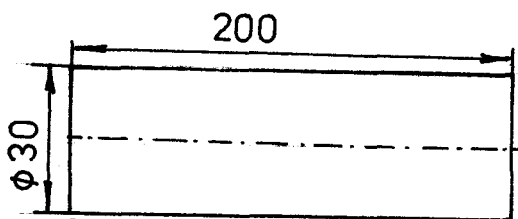
a) stavitelná řemenice (model)



$$\rho = 7,8 \text{ g/cm}^3$$
$$m_1 = 0,806 \text{ kg}$$
$$I_1 = 2,8 \cdot 10^{-3} \text{ kg.m}^2$$

Obr.22

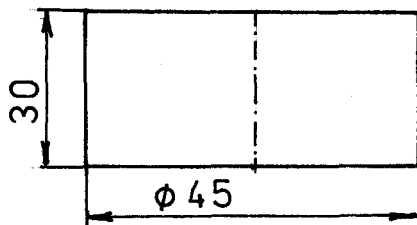
b) hřidel (model)



$$\rho = 7,8 \text{ g/cm}^3$$
$$m_2 = 1,1 \text{ kg}$$
$$I_2 = 1,24 \cdot 10^{-4} \text{ kg.m}^2$$

Obr.23

c) řemenice (model)



$$\rho = 7,8 \text{ g/cm}^3$$
$$m_3 = 0,372 \text{ kg}$$
$$I_3 = 9,4 \cdot 10^{-5} \text{ kg.m}^2$$
$$I_C = I_1 + I_2 + I_3 = 3,177 \cdot 10^{-3} \text{ kg.m}^2$$

Obr.24

Použité výpočtové vztahy

- rozměry dosazovat v [mm]
- ρ dosazovat v [g/cm³]

$$m = \frac{(D^2 - d^2) \cdot \rho}{4} \cdot 1 \cdot 10^{-6} \quad [\text{kg}] \quad (34)$$

$$I = \frac{1}{8} m \cdot (D^2 + d^2) \cdot 10^{-6} \quad [\text{kg.m}^2] \quad (35)$$

Sečtení I_p a I_c redukční metodou

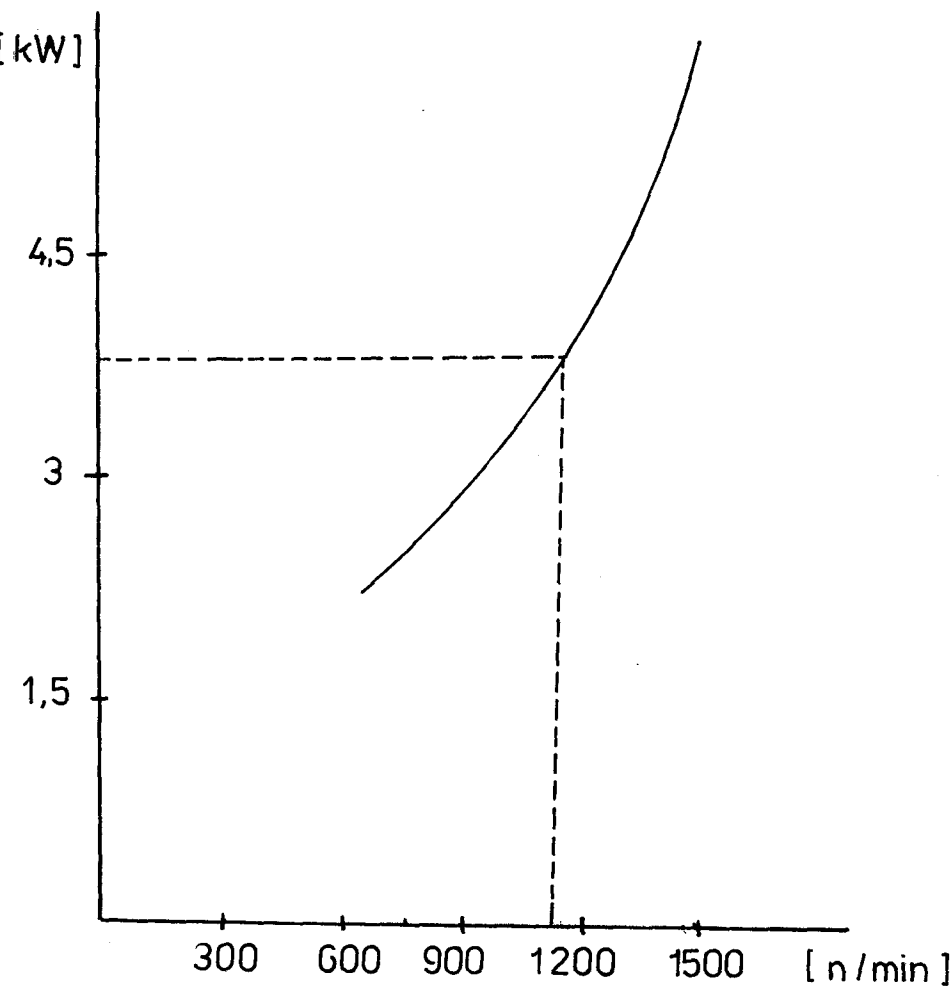
$$i = 3,2 ; \omega = 124 \text{ [rad/s]}$$

$$I_r = I_c + I_p(i)^2 = 0,04225 \text{ kg.m}^2 \quad (36)$$

Celkový moment setrvačnosti 36 podavačů řemenice, hřidele
a stavitelné řemenice. (redukováno na úhlovou rychlosť
 $\omega = 124 \frac{\text{rad}}{\text{s}}$)

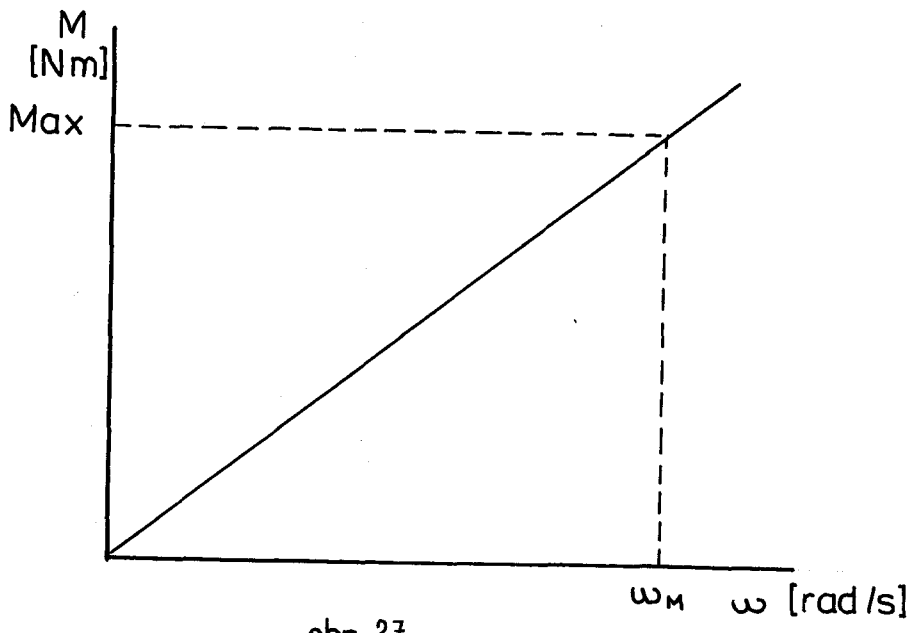
4.6 ŘEŠENÍ VLASTNÍ DYNAMIKY SOUSTAVY

a) Závislost příkonu stroje METEX na otáčkách.



obr. 26

b) Momentová charakteristika při zastavení stroje. (brzdění)



obr. 27

c) Štítkové hodnoty el. motoru PROZ c 160 MX.

Jmenovitý výkon $P_j = 6,7 \text{ kW}$
Jmenovité napětí kotvy $U_j = 330 \text{ V}$
Jmenovitý proud kotvy $A_j = 22,7 \text{ A}$
Jmenovité otáčky el. motoru $1\ 500 \text{ ot/min}$

d) Doba zastavení $t = 1 \text{ s}$

e) Uvažovaný příkon podavače jedné pasáže při konst. ot.
je 300 W .

Ad a) Výpočet momentu způsobeného pasivními odpory. (na motoru)

$$P = MBS \cdot \omega \quad (37)$$

z grafu:

$$P = 2500 \text{ W}$$

$$\omega_1 = 78,5 \text{ rad/s}$$

$$M_{BS} = \frac{P}{\omega_1} \quad (38)$$

$$M_{BS} = 31,8 \text{ [Nm]}$$

Ad c) Výpočet jmenovitého momentu.

$$P_j = 6700 \text{ W}$$

$$\omega_j = 157 \text{ rad/s}$$

dle vztahu (38)

$$M_j = 42,675 \text{ Nm}$$

Ad b) Maximální moment uvažován jako dvojnásobek jmenovitého momentu.

$$Max = 2M_j$$

$$Max = 85,35 \text{ Nm}$$

Momentová charakteristika

$$M_M = \frac{Max}{\omega_M} \cdot \omega \quad (39)$$

4.7 ODVOZENÍ VÝPOČTOVÝCH VZTAHŮ

a) Úhlové zrychlení ξ_s na motoru a moment setrvačnosti s celé soustavy. (Redukováno na $\omega = 137,44 \text{ rad/s}$)

$$M_{BS} + M_M = I_s \xi_s \quad (40)$$

Po dosazení momentové charakteristiky do vztahu (40) a jeho úpravě dostaneme diferenciální rovnici.

$$MBS + \frac{Max}{\omega_M} \cdot \omega = Is \cdot \frac{d\omega}{dt} \quad (41)$$

$$\int_0^t dt = \int_0^{\omega_n} \frac{Is \cdot d\omega}{MBS + \frac{Max}{\omega_n} \cdot \omega} \quad (42)$$

Po integraci

$$Is = \frac{t \cdot Max}{\omega_M \cdot \ln(1 + \frac{Max}{MBS})} \quad [kg \cdot m^2] \quad (43)$$

Dosazením MBS, Max, t do vztahu (43) získáme Is.

$$Is = 0,4765 \text{ kg m}^2$$

Dosazením MBS, Is, Max a $\omega_n = 137,44$ získáme $\dot{\epsilon}_s$ (40)

$$\dot{\epsilon}_s = 245,928 \text{ rad/s}$$

b) Zjištění momentu pasivních odporů na hřídeli stavitele řemenice dle vztahu (38) pro $P = 300 \text{ W}$ a $\omega_N = 124 \text{ rad/s}$.

$\dot{\epsilon}_p$ dle vztahu (30) dosazením I_p .

$$MBP = 2,41 \text{ Nm} \quad \dot{\epsilon}_p = 57,09 \text{ rad/s}^2$$

Protože známe $\dot{\epsilon}_s$ celé soustavy, můžeme pomocí známých převodů zjistit $\dot{\epsilon}_s$ pro kteroukoliv úhlovou rychlosť.

Tzn. na kterémkoliv členu soustavy.

Pro $\omega_N = 124$

$$\dot{\epsilon}_s = \frac{\omega_N}{\omega_M} \cdot \dot{\epsilon}_p \quad [\text{rad/s}] \quad (44)$$

$$\dot{\epsilon}_s = 221,9 \text{ rad/s}^2$$

Dosazením ω_M , ε_s do vztahu (44) získáme $\dot{\varepsilon}_s$.

Dosazením známých veličin do vztahů (31, 32) získáme moment přenášení řemene a maximální výkon přenášený řemenem.

$$M_r = 697 \text{ Nm}$$

$$P_r = 863,4 \text{ W}$$

c) Kontrola šířky řemene

Návrh šířky řemene se provádí v programu pomocí koef. bezpečnosti, které zohledňují jak dynamické sily, tak velikosti setrvačných hmot. Pokud známe maximální přenášený výkon při zastavení, můžeme volit koeficient bezpečnosti roven jedné.

Poněvadž tyto hodnoty jsou zjištěny, kontrolu je možno provést.

$$F = \frac{P_r}{\bar{n} \cdot n_1 D_2} \quad [N] \quad (45)$$

$$b = \frac{F}{z_z \cdot p \cdot h_z} \quad [mm] \quad (46)$$

$$n_1 = 19,73 \quad \text{ot/s}$$

$$h_z = 1,5$$

$$z_z = 6$$

$$p = 1,196 \quad \text{MPa}$$

Dle vztahu $F = 289,9 \text{ N}$

Dle vztahu $b = 26,9 \text{ mm}$

Volený řemen o šířce 30 mm vyhovuje. Koeficient bezpečnosti pro přenos špičkových výkonů je 1,115.

5. ZÁVĚR

V prvé části diplomové práce je provedena analýza celé situace a i rozbor problému náhonu podavačů a navrhnut konstrukčně nový způsob přenosu výkonu a změny jejich převodů. Při výběru bylo vycházeno z několika alternativ, ze kterých se jako nejvhodnější jevilo řešení s použitím tří výmenných řemenic s napínací kladkou, která má za úkol eliminovat délkové rozdíly vzniklé při změně převodu.

Pro toto řešení byl zpracován program, který značně usnadní návrh celého převodu a navíc vybere vhodný řemen z katalogu ozubených řemenů. Provede optimalizaci převodů a zobrazí celý problém na obrazovce.

V další části práce je uvedena analýza dynamiky soustav s výpočtem dynamických momentů setrvačnosti a to jak pro celou soustavu, tak i pro skupinu 36 podavačů. Z tohoto vyplývá, že můžeme na základě rozběhových charakteristik zjistit vzájemné působení dvou soustav, při brzdění či rozbehlu, z hlediska dynamiky při extrémních přenášených výkonech, a tím můžeme zjistit potřebné momenty, které řemen přenáší, z čehož odvodíme i potřebnou tloušťku řemene.

U tohoto řešení nebyl brán ohled na výrobní náročnost, ta totiž zůstala zhruba stejná, ale hlavní důraz byl kladen na snížení hlučnosti, zvýšení životnosti, odstranění domazávání.

SEZNAM POUŽITÉ LITERATURY A PODKLADŮ

- (1) PRÁŠIL L., OLEHLOVÁ M. : Části strojů a mechanismů
- (2) BRADSKÝ Z., VRZALA R. : Mechanika III
- (3) Návod pro obsluhu interlok. plet. stroje ?METEX"
- (4) Katalog ozubených řemenů

Recenze diplomové práce

Název práce: Rekonstrukce náhonu podávání pro velkopružný pletací stroj METEX
Práci vypracoval: Josef Vaculík
Recenzi provedl: Ing. Jaroslav Kopál, CSc

Úkolem předložené diplomové práce je popsání a analýza současného způsobu náhonu podávání stroje METEX s návrhem nového řešení, veetně potřebných výpočtů a ekonomického rozboru.

Ihned ze začátku diplomové práce je zřejmé, že nejsou splněny všechny body zadání. Podle obsahu práce na str. 5, kde chybí uvedení stránek, není řešen bod zadání 4, t.j. ekonomický rozbor. Nebo se snad diplomant domnívá, že celou záležitost odbyl posledním odstavcem kapitoly 5, že u řešení nebyl brán zřetel na výrobní náročnost, která zůstala zhruba stejná.

Po stručném úvodu je provedena v kapitole 2. analýza současného náhonu. Analýza je provedena na 2,5 stránce velmi nedostatečným způsobem. Z rozboru vyplývá, že zkušení konstruktéři, kteří stroj navrhovali, vytvořili zcela špatný návrh, který diplomant řeší suverénně, a proč se tedy zabývat hlubší analýzou. Diplomant se rozhodl pro ozubený řemen, který má všechny přednosti, a tím je celá záležitost vyřešena. Domnívám se, že na obdobnou myšlenku přišli ve VVÚ ZVS Brno také, a jistě je vedlo něco k tomu, proč dané řešení nepoužili.

Osobně vím, že se zajištováním ozubených řemenů z Gumáren Zubří jsou značné problémy.

Diplomant se ani okrajově nezvykal způsobem a požadavky na podávání nití pletacího stroje, ke kterému slouží analyzovaný náhon. Při jeho rychlých rozhodnutích mohl třeba změnit celý systém podávání nití a bylo by tečné řešit náhon ozubeným řemenem.

Hodnotím kladně, že pro vlastní řešení výpočtů použil diplomant osobního počítače, ale tvrzení, že výpočty jsou složité a

časově náročné pro uvažované řešení, je poněkud přehnané. Uvádím to proto, že počítače se u nás poslední dobou stávají módou a bohužel v některých případech i brzdou. Při "hraní" s se s počítači za každou cenu vznikly našemu hospodářství již nemalé škody, o čemž se lze přesvědčit i při sledování denního tisku.

Vyjadřování diplomanta i v ostatních částech práce, včetně jeho závěrů, jsou trochu neobvyklá; viz např. na str. 26 větu: **"První slušné hodnoty odpovídají osové".....**

Nelze však popřít, že z.a. 3. bod zadání diplomant ve své podstatě splnil.

Domnívám se však, že stejně jako se věnoval programu počítače, měl se stejnou příli provést celou výkresovou dokumentaci. Rozpiska je provedena pod veškerou úroveň. K výkresům chybí jakýkoliv popis. Způsob kótování roztečného průměru otvorů a navíc bez tolerance na výkresu pos. 3 neodpovídá konstrukčním zvyklostem a na výkresu pos. 1 tento průměr chybí vůbec. K čemu tak přesná tolerance na výkresu IS - 1 pos. 1 Ø 22 H8. Tak bych mohl pokračovat dále.

Z celé diplomové práce nabývám dojem, že nejdůležitější prací pro diplomanta bylo využití počítače a na ostatní mu jaksi nezbyl čas. V první řadě je však třeba splnit přehledně a jasně zadané úkoly.

Je skutečností, že náročnost řešeného úkolu, tak jak ho diplomant pojál a zúžil, nebyla skutečně velká. Tím více mě překvapuje, že vynechal bod č. 4 t.j. ekonomický rozbor. Je docela možné, že by výsledky rozboru nebyly v tomto případě podstatné, ale škola zřejmě věděla, proč tento bod předepisuje. Konstruktér při řešení musí mít rentabilnost návrhu stále na mysli, musí ji dovést vypočítat, a k tomu měl zřejmě sbírat poslední bod zadání.

Celkové hodnocení

Předložená diplomová práce, až na bod 4, splňuje zadání a odpovídá pojetím práce úrovní posluchače vysoké školy, který má však trochu mezery v technickém kreslení.

Hámatově lze použít výsledky práce v praxi. Zpracování práce má v jednotlivých částech různou úroveň i co do pedagogičnosti. Práce dělá dojem, jako by nebyla provedena jednou rukou.

Přestože diplomová práce splňuje zadání, hodnotím vzhledem k vážným připomínkám její úroveň a zpracování klasifikačním stupněm

d o b ř e

v Liberci 6.6. 1988

Ing. Jaroslav Kopal, CSc

1	ŘEMENICE $\phi 50-35$ ČSN 42 55.10 11600	11600	TS-3	1
1	PŘÍRUBA 2x60x60 ČSN 4253 10.21 11373.1	11373.1	TS-2	2
4	ŠROUB M3x10 ČSN 02 1151.15			3

J.VACULÍK

VŠST.
LIBEREC ŘEMENICE PEVNÁ

TS-K-02

1	ŘEMENICE $\phi 100-35$	ČSN 425510.10	11600	11600	75-1	1
1	ŘEMENICE $\phi 50-35$	ČSN 425510.10	11600	11600	75-02	2
1	PERO $7 \times 7 \times 20$	ČSN 022562				3
1	ŘEMEN	272213030				4
1	PEROP $8 \times 15 \times 130$	ČSN 425310.12	10340.0	10340.0		5
4	ŠROUB M6 \times 60	ČSN 02113120				6
1	KRYT $P1/8 \times 500 \times 600$	ČSN 425310.21	11373.1	11373.1		7
1	KRYT $P1/8 \times 500 \times 600$	ČSN 425310.21	11373.1	11373.1		8
1	NAPÍNAČ					9
1	PŘÍLOŽKA $7.8 \times 20 \times 40$	ČSN 425310.12	10340.0	10340.0		10
2	ŠROUB M8 \times 20	ČSN 021103.52				11

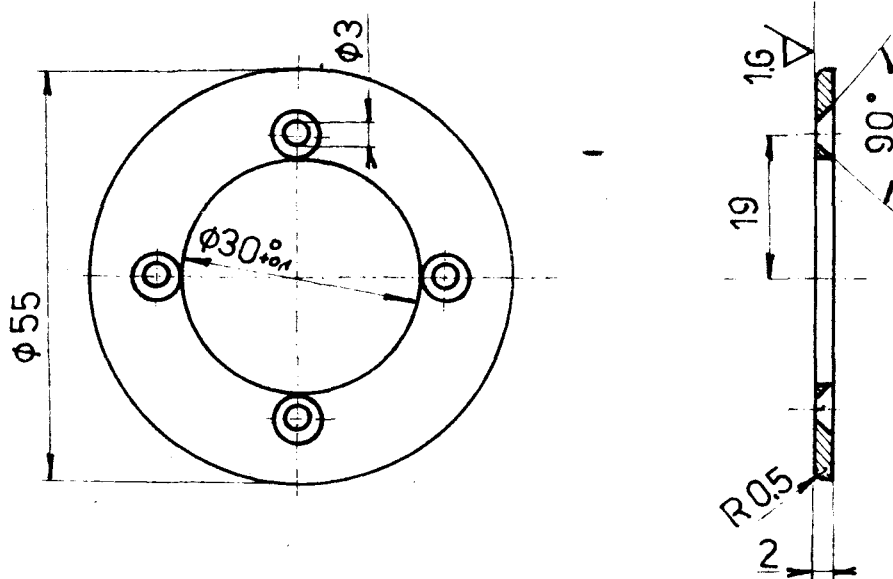
J. VACULÍK

VŠST

LIBEREC NÁHON PODÁVÁNÍ

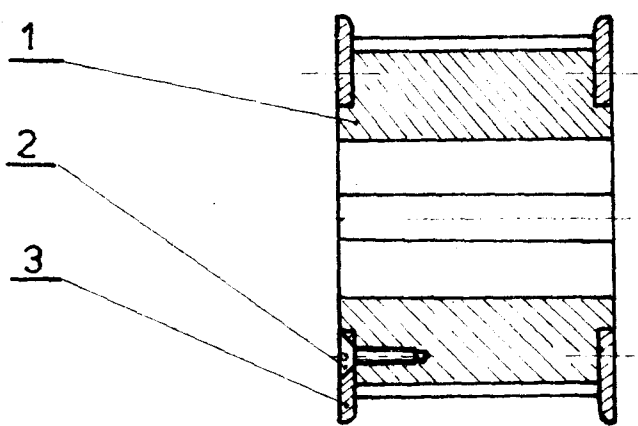
TS-K-01

32 ✓ (✓)

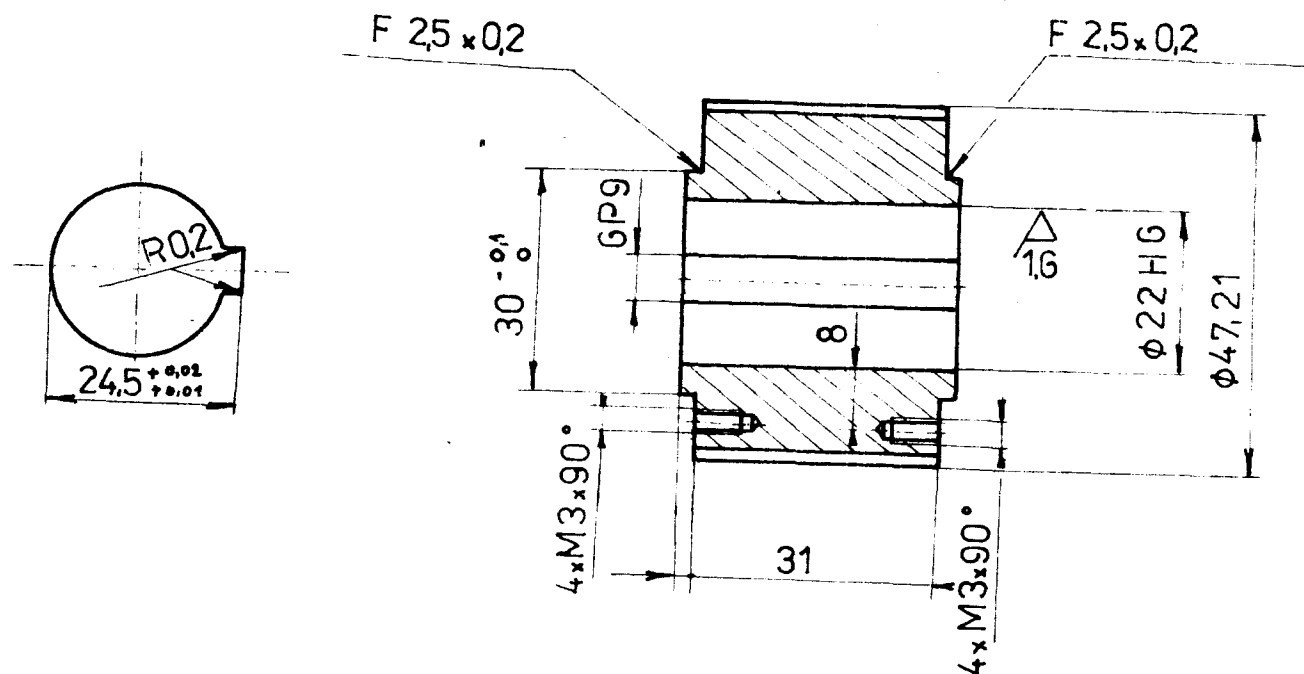
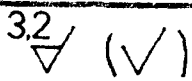
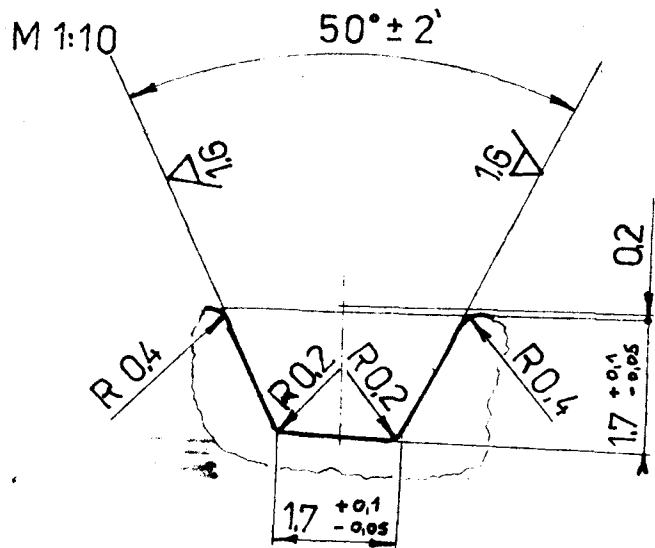


NEKOTOVANÁ SRAŽENÍ 1:45°

2 P 2x 60x60	ČSN42531021	11 373.1	001		TS-2	3		
Název - Rozměr	Položovat	Mat. konečný	Mat. výchozí	Prům. Odp.	Č. váha	Hr.váha	Číslo výkresu	Pos.
Poznámka			Celková č. váha kg					
Měřítko	Kreslil J. VACULÍK		Čís. sním.	O				X
1:1	Prezkoušel			o				X
	Norm. ref.			x				X
	Výr. projednat	Schválil	Č. transp.	m				X
		Dne		z				X
VYSOKÁ ŠKOLA		Typ	Skupina	Starý výkres	Nový výkres			
STROJNÍ LIBEREC		Název						
		PRÍRUBA		Počet listů				



										TS-02		2
Předm. kres.	Název - Rozměr	Polotovar	Mat. konečný	Mat. výchozí	Před. Odp.	Č. váha	Hl. váha	Číslo výkresu	Pos.			
Poznámka		Celková č. váha kg										
Měřítko 1:1	Kreslil J. VACULÍK			Čis. sním.	S					X		
	Překoušel			S						X		
	Norm. ref.			S						X		
	Výr. projednal	Schválil		Č. transp.	M					X		
		Dne			Z					X		
VYSOKÁ ŠKOLA		Typ	Skupina	Starý výkres		Nový výkres						
STROJNÍ LIBEREC		Název										
		ŘEMENICE PEVNÁ										
				Počet listů								

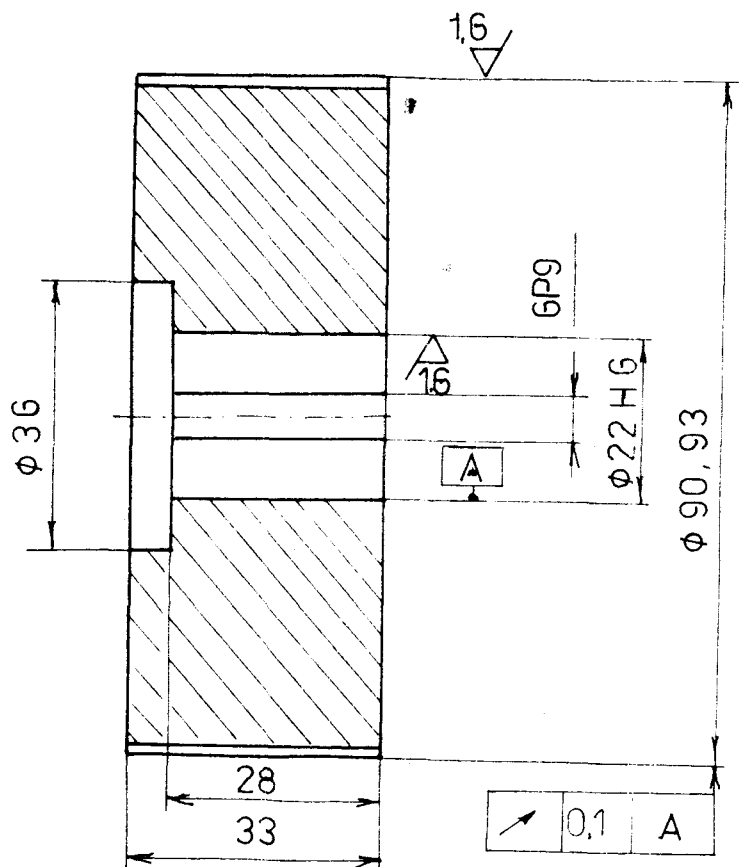
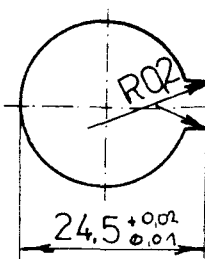
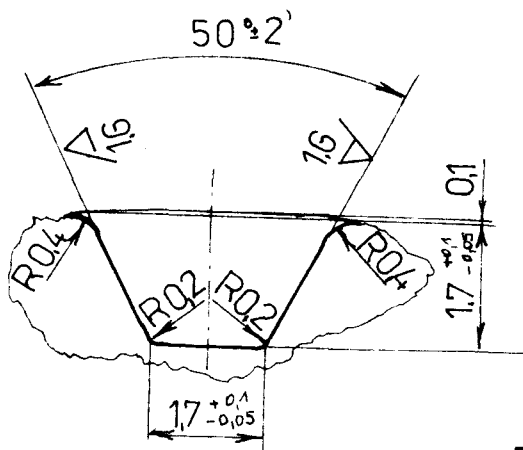


2 POČET ZUBŮ 24

1 NEKÓTOVANÁ SRAŽENÍ 145°

1	Ø50 - 35	ČSN42 5510,10	11600.0	0,01	TS-3	1			
Předst. kusek	Název - Rozměr	Položová	Mat. konečný	Nat. výchozí	<i>Přesn.</i> <i>Oto.</i>	Č. váha	Hl.váha	Číslo v. kresky	Využ.
poznámka			Celková č. váha kg						
Měřítko 1:1	Kreslil J. VACULÍK		Čís. sním.	Změna		Datum	Podpis	zprávy	x
	Piezkošel								x
	Norm. ref.								x
	Výr. projednat	Schválil	Č. transp.	Změna		Datum	Podpis	zprávy	x
		Dne							x
		Type	Skupina	Starý výkres		Nový výkres			
VYSOKÁ ŠKOLA STROJNÍ LIBEREC		Název	ŘEMENICE PEVNÁ						
				Počet listů					

M 1:10



2.POČET ZUBŮ

46

1.NEKOTOVANÁ

SRAŽENÍ x 145°

1	Ø 100 35	ČSN 425510.10	11600.0	001			TS-1	1
Počet kusů	Název - Rozměr	Použitívar	Mst. konečný	Mst. výchozí	Fráz. Ocp.	Č. váha	Hr. váha	Číslo výkresu
Poznámka						Celková č. váha kg		
Měřítko	Kresil J. VACULÍK		Čís. sním.					
1:1	Prézkoušel			Změna			Datum	
	Norm. ref.						Pořadis	
	Výr. projednat	Schválil	Č. transp.	Změna				Index změny
		Dne						
VYSOKÁ ŠKOLA	Typ	Skupina	Starý výkres	Nový výkres				
STROJNÍ LÍPFREC	Název							
	ŘEMENICE VÝMĚNA							
			Počet listů					